

Caracterização de tempos de ida-e-volta na Internet

Everthon Valadão¹, Dorgival Guedes², Ricardo Duarte³

¹Departamento de Informática
Instituto Federal de Educação, Ciência e Tecnologia de Minas Gerais
Campus Formiga
Rua Padre Alberico, s/n — Bairro São Luiz
CEP 35570-000, Formiga, MG
Telefone: (037) 3321-4094 Fax (037) 3322-2330
everthon.valadao@ifmg.edu.br

²Departamento de Ciência da Computação

³Departamento de Engenharia Eletrônica

Universidade Federal de Minas Gerais

Av. Antônio Carlos 6627 — Pampulha

CEP 31270-010, Belo Horizonte, MG

Telefone: (031) 3409-5860 Fax: (031) 3409-5858

dorgival@dcc.ufmg.br

ricardoduarte@ufmg.br

Abstract

Round-trip times (RTTs) are an important metric for the operation of many applications in the Internet. For instance, they are taken into account when choosing servers or peers in streaming systems, and they impact the operation of fault detectors and congestion control algorithms. Therefore, detailed knowledge about RTTs is important for application and protocol developers. In this work we present results on measuring RTTs between 81 PlanetLab nodes every ten seconds, for ten days. The resulting dataset has over 550 million measurements. Our analysis gives us a profile of delays in the network and identifies a Gamma distribution as the model that best fits our data. The average times observed are below 500 ms in more than 99% of the pairs, but there is significant variation, not only when we compare different pairs of hosts during the experiment, but also considering any given pair of hosts over time. By using a clustering technique, we observe that links can be divided in five distinct groups based on the distribution of RTTs over time and the losses observed, ranging from groups of near, well-connected pairs, to groups of distant hosts, with lower quality links between them.

Keywords: Round-trip times, RTT, delays, Internet, PlanetLab

Resumo

Tempos de ida-e-volta (RTTs) são uma métrica importante para diversas aplicações na Internet. Por exemplo, eles afetam a escolha de servidores ou pares em sistemas de troca de arquivos e de streaming e a operação de mecanismos de detecção de falhas e de controle de congestionamento. Por isso, entender a variação de RTTs é essencial para o projeto de protocolos e aplicações. Neste trabalho apresentamos os resultados da medição de RTTs entre 81 nós da rede PlanetLab a cada dez segundos, por dez dias. O registro resultante possui cerca de 550 milhões de medições. Nossa análise nos permite traçar um perfil detalhado do atraso na rede e identificar uma distribuição Gamma como a que melhor aproxima os dados coletados. Os tempos médios observados são inferiores a 500 ms em mais de 99% dos casos, mas a variação é significativa, não só para diferentes pares de máquinas, mas também para um mesmo par ao longo do tempo. Aplicando uma técnica de clusterização, verificamos que os enlaces podem ser classificados em cinco grupos com base na distribuição dos RTTs, sua variação e perdas, variando de grupos de nós próximos conectados a grupos de nós distantes com enlaces de menor qualidade.

Palavras-chave: Tempos de ida-e-volta, RTT, atrasos, Internet, PlanetLab

1. INTRODUÇÃO

Na Internet atual, muitas aplicações dependem de informações sobre os tempos de ida-e-volta pela rede (*Round-Trip Times*, ou RTT) para certas decisões. Além de ser essencial para se prever o comportamento de protocolos como o TCP, que dependem de estimativas para esse valor [7, 1], esses tempos são importantes para aplicações que operam segundo o princípio de requisição resposta e que podem escolher entre diversos servidores na rede [13], aplicações de *multicast* de áudio/vídeo dependem dessa informação para montar suas árvores de distribuição [6] e aplicações par-a-par, que podem se beneficiar ao escolher como vizinhos nós que respondem mais rápido a consultas [3]. Além disso, essa informação também é usada quando se objetiva reduzir as latências de transmissão, dimensionar *buffers* na rede e avaliar a banda disponível entre dois *hosts* [21, 11].

Um estudo sobre a distribuição de atrasos (unidirecionais ou de ida-e-volta) é importante para servir como base para auxiliar projetistas de protocolos e aplicações em seu trabalho, já que fornece dados de referência para a tomada de decisões. Além disso, os dados coletados podem servir como entrada realista para simulações de sistemas distribuídos e como base para o desenvolvimento de modelos sintéticos a serem usados em simuladores.

Segundo Redfólo e outros, dentre os mecanismos de obtenção de conhecimento, o método científico mostra-se, não apenas como o de êxito mais provável, mas como o mais convincente [14]. O empirismo, cerne do método científico, consiste na investigação controlada de um fenômeno, organizada na forma de experimentos. Com efeito, os resultados positivos de um experimento prestam-se ao intuito de comprovar ou ao menos, reforçar uma hipótese formulada e investigada na condução deste.

Através da utilização de um *trace* na análise de protocolos de rede, possibilita-se a investigação controlada e a repetibilidade dos experimentos, de maneira que comparações de desempenho possam ser realizadas num cenário real. Além disso, uma carga real possibilitaria uma análise de desempenho considerando também efeitos inesperados, resultantes da interação entre sistemas complexos, produzindo resultados com alto valor científico e válidos como cenários reais.

Tendo esses objetivos em mente, neste trabalho apresentamos um estudo sobre tempos de ida-e-volta e atrasos unidirecionais na Internet. Medidas de RTT foram coletadas entre aproximadamente 100 pontos da rede, a cada dez segundos, durante dez dias. Os dados coletados foram analisados utilizando ferramentas estatísticas e de mineração de dados, buscando fornecer uma caracterização detalhada dos dados coletados.

Analisamos, entre outros aspectos, a distribuição de atrasos e perdas observadas, o nível de assimetria observado durante as medições e a existência de agrupamentos

de canais de comunicação com características distintas. Além da coleta, análise e disponibilização do *trace* de um cenário real, desenvolvemos também um modelo sintético para a distribuição de RTTs.

Para uma medida precisa de tempos de ida-e-volta e de atrasos unidirecionais é necessário acesso aos dois extremos do canal de comunicação que se deseja medir, o que descarta o uso de aplicações usuais que utilizam o protocolo ICMP, como o comando `ping` [8]. Sendo assim, utilizamos nós da rede PlanetLab em nossas medições, tendo o cuidado de selecionar máquinas com uma ampla cobertura geográfica, localizadas tanto em redes acadêmicas/de pesquisa quanto em redes comerciais.

Nossos resultados mostram que os RTTs variam significativamente entre pares de máquinas na Internet, como seria de se esperar, mas também podem variar significativamente entre duas máquinas definidas, mesmo em escalas de tempo reduzidas. Apesar da variabilidade, nossa análise indica que há alguns grupos de comportamento similar definidos com base nos tipos de canais que as separam. Perdas de pacotes, em geral, são baixas e tendem a se concentrar nos canais com maiores RTTs.

O restante deste trabalho é organizado da seguinte forma: a seção a seguir discute conceitos e trabalhos relacionados, para então discutirmos o processo de medição e coleta de dados na seção 3. Os resultados são apresentados na seção 4, com subseções para os principais elementos da nossa análise. Finalmente, concluímos com algumas observações e uma discussão de possíveis trabalhos futuros.

2. TRABALHOS RELACIONADOS

A avaliação do desempenho de um sistema (computacional) é significativa somente no contexto de uma carga de trabalho, onde a utilidade de um modelo de carga depende do quão bem o modelo sintético representa o efeito observado em cargas reais e, se ele tem poder preditivo. Cargas são válidas na medida em que permitem avaliar corretamente o comportamento do sistema no que diz respeito às características de interesse. Segundo Smith [17], na medida em que o desempenho é sensível a mudanças na carga de trabalho, para outros cenários de carga as estimativas de desempenho serão pouco confiáveis ou então o modelo ou metodologia de estimativa serão considerados suspeitos. Ou seja, os resultados de desempenho obtidos para uma determinada carga de trabalho são válidos para o contexto daquela carga.

Choi e Yoo propuseram uma técnica para derivar atrasos unidirecionais avaliando os tempos entre pacotes de dados e suas confirmações (ACKs) em conexões TCP. Essa técnica foi analisada pelos autores através de simulações, porém, não chegaram a aplicá-la na análise de as-

simetria ou em um estudo abrangente na Internet [4].

Por exigir a medição nos dois extremos da comunicação e demandar mecanismos de sincronização de relógios nesses extremos, estudos sistemáticos sobre RTT (*round-trip time*) na Internet no passado foram limitados pela dificuldade de obter acesso a um número significativo de máquinas instaladas em pontos diversos da rede. Por exemplo, Bolot [2] realizou medições apenas entre um par de máquinas na rede, às quais o autor tinha acesso. Naquele trabalho, o autor realizou medições por intervalos curtos (até 800 medições consecutivas), variando o intervalo entre medições de 8 ms a 500 ms.

Trabalhos de medição de características da rede só se tornaram realmente viáveis recentemente, com o advento do PlanetLab ¹. O *All-Pairs Ping*² (APP) foi um projeto que mediu RTTs no PlanetLab a cada 15 minutos por 2 anos [19, 22]. Nesse caso o comando *ping* foi utilizado, o que não permite o casamento preciso entre as informações nas duas extremidades do canal de comunicação. Já o serviço CoMon realiza a monitoração do RTT, além de diversas métricas de carga, mas não armazena a relação entre os pares de nós utilizados e se limita a um intervalo de 5 minutos [9]. Numa análise do progresso evolutivo do RTT médio do PlanetLab [20], Tang e outros observaram uma considerável variação no RTT entre duas medições para os mesmos pares de máquinas, ao realizar medições apenas a cada 15 minutos.

Ainda no PlanetLab, Pucha e outros utilizaram pacotes formados como segmentos de confirmação do protocolo TCP (ACKs) enviados para portos altos de máquinas distantes como forma de medir RTTs. Pela definição do protocolo TCP, as máquinas contactadas enviavam segmentos de erro (RSTs) de volta para a máquina de origem, o que lhes permitia medir os tempos de ida-e-volta [12].

Em uma análise mais recente da assimetria dos atrasos na Internet, Pathak e outros realizaram um estudo abrangente no qual mediram a severidade da assimetria no atraso entre diversos pares de nós do PlanetLab [10]. Seus resultados estão de acordo com os de Tang e outros, sendo observado que a assimetria dos atrasos prevalece na grande maioria dos nós, podendo ser em parte atribuída à assimetria nas rotas e em parte a congestionamentos transitentes.

Um resumo comparativo dos principais trabalhos de análise dos tempos de ida-e-volta em cenários da Internet e no PlanetLab é apresentado na Tabela 1.

O uso do PlanetLab para experimentos sobre a Internet é abordado por Pathak e outros [10] e por Pucha e outros [12]. Ambos observaram uma diferença de conectividade entre nós da Internet acadêmica e da Internet comercial. Levamos esse aspecto em consideração ao incluir nós localizados em redes comerciais em nossas me-

dições. Neste trabalho, entretanto, realizamos uma análise de agrupamentos baseada nos valores medidos, não em uma classificação *a priori* dos nós.

Para medir atrasos unidirecionais, utilizamos uma técnica derivada de Pathak e outros [10] que se baseia no uso do protocolo NTP ³ para sincronização dos relógios das máquinas e avaliação dos erros máximos envolvidos. Rocha e outros discutem as limitações dessa técnica [15], especialmente os problemas de atualização de relógio, que foram consideradas ao se excluir nós problemáticos, conforme será discutido posteriormente.

Como pode ser observado na tabela 1, talvez por restrições da capacidade de coleta e processamento dos dados, a maior parte dos projetos desenvolvidos para medir atrasos na Internet foram baseados em períodos longos entre amostragens, da ordem de minutos, ou realizaram medições por intervalos curtos de tempo. Entretanto, alguns desses trabalhos indicam que as amostras muito espaçadas perdem detalhes da variação dos atrasos em intervalos de tempo menores [20], enquanto medições muito próximas (da ordem do valor do RTT) podem sofrer de interferências umas das outras [2]. Neste trabalho, optamos por adotar uma resolução temporal intermediária (uma medição a cada 10 segundos) para evitar os dois problemas mencionados. Além disso, utilizamos uma infraestrutura de coleta contínua para permitir que cada nó medidor pudesse operar por um período de tempo mais longo (10 dias).

3. METOLOGIA DE COLETA

O RTT (*round-trip time*) entre dois nós A e B é definido como sendo a soma do atraso direto de A para B e do atraso inverso de B para A. Ele tem sido utilizado largamente como métrica em diversas aplicações de rede que necessitam inferir atrasos e/ou localização dos nós. O RTT é comumente utilizado para derivar os atrasos em cada sentido, onde normalmente assume-se seu valor como sendo RTT/2. Entretanto, a existência de assimetrias nesses atrasos individuais prejudica a precisão e desempenho das aplicações que se utilizam desse pressuposto [10]. Portanto, se possível, a utilização dos atrasos individuais em cada sentido do enlace é desejável por trazer consigo maior exatidão.

3.1. MEDIÇÃO DOS TEMPOS DE IDA-E-VOLTA

Para a realização da coleta dos atrasos de rede utilizamos uma ferramenta com um protocolo próprio, visto que o *ping* (*ICMP echo request*) não nos proveria as informações necessárias para inferir os atrasos individuais de cada sentido da comunicação. Optamos por utilizar uma abordagem “*Three-Way Ping*”, inspirada no *three-*

¹<http://www.planet-lab.org/>

²http://pdos.csail.mit.edu/~srib/pl_app/

³<http://www.ietf.org/rfc/rfc1305.txt>

Tabela 1. Sumário comparativo das pesquisas sobre atrasos na Internet

Trabalho	Método	Espaçamento / Duração	Varição Atraso	Assimetria	Modelo Sintético	Escala
Bolot [2]	NetDyn	8-500 ms / 800 medições	✓	-	-	2 nós
Choi e Yoo [4]	TCP ACKs	~1 ms / 100 s	✓	-	-	2 nós
Pucha e outros [12]	TCP ACK/RST	?	✓	-	-	180 nós
Yoshikawa [22]	ping	15 min. / 2 anos	✓	-	-	600 nós
Park e Pai [9]	ping	5 min. / -	✓	-	-	-
Tang e outros [20]	ping	15 min. / 2 anos	✓	-	-	600 nós
Pathak e outros [10]	OwPing	20 min. / 10 dias	✓	✓	-	94 nós
Este trabalho	3-way ping	10 seg. / 10 dias	✓	✓	✓	81 nós

way handshake utilizado no estabelecimento de conexões TCP, de maneira a ter acesso ao RTT nos dois sentidos em momentos próximos.

O *Three-Way Ping* (TWP) funciona da seguinte maneira: o nó A envia periodicamente solicitações ao nó B, utilizando mensagens UDP. A solicitação inicial é denominada PING, ao passo que o nó B responderá um PING-ACK. Ao receber a resposta do nó B, o nó A devolve um ACK para completar a rodada de troca de mensagens deste protocolo. Assim, o TWP possibilita que, em um nó A qualquer, calculemos o RTT de A para B como sendo o intervalo de tempo entre a emissão um PING e o recebimento da resposta PING-ACK. Para um momento próximo, é também possível calcular em B o RTT de B para A como sendo o intervalo entre a emissão de um PING-ACK e o recebimento do ACK, conforme ilustra a figura 1.

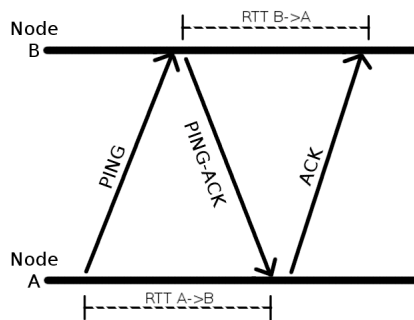


Figura 1. Sequência de troca de mensagens no TWP

Implementamos o TWP em Java, como um software para coleta dos atrasos de rede no PlanetLab. Cada mensagem do protocolo consiste em um datagrama UDP com a especificação do tipo de mensagem (PING, PING-ACK ou ACK) e um número de sequência, para ordenação e identificação única de cada sequência de três mensagens. Para os identificadores, que cobriram todo o espaço de endereçamento a eles dedicado algumas vezes durante o experimento, foi utilizado um mecanismo idêntico ao utilizado pelo protocolo TCP no processamento de seus números de sequência. No ato de envio e recebimento das mensagens, cada nó armazena em seu *log*, em binário, a quintupla: (*timestamp*, número de sequência, tipo de

mensagem, ID do nó origem, ID do nó destino).

Dessa forma, cada evento de envio ou recebimento ocupa apenas 15 bytes no *log*. Os IDs dos nós origem e destino não consistem em seus endereços de rede, mas em um identificador provido pela sua respectiva ordem em uma tabela *hash* contendo todos os nós e seus respectivos portos. Assim, após a tabela *hash* ser preenchida com todos os nós do experimento, obtém-se uma listagem do conjunto de chaves, onde o ID de cada nó será a posição dele naquele conjunto. Com isso foi possível economizar espaço no armazenamento do *log* e, ainda, a utilização dos IDs incrementais facilitou o processamento posterior.

Para reduzir a quantidade de mensagens trocadas e evitar redundância, cada nó inicia TWPs para metade do conjunto restante de nós e responde às solicitações da outra metade do conjunto. Para tal utilizamos um iterador circular sobre o conjunto de chaves da tabela *hash*. Assim, a cada intervalo de comunicação um nó A somente enviará ou receberá requisições TWP para/de um outro nó B. Isso é possível pois a sequência das chaves é a mesma em todos os nós.

3.2. O PROCESSO DE COLETA

A operação de todo o sistema é controlada por um nó coordenador, que centraliza a identificação de todos os nós no início da coleta e redistribui as informações de inicialização para todos os nós participantes, determinando como cada nó deverá atuar durante o experimento. Os nós participantes armazenam o *log* localmente com um mecanismo de rotação periódica. Os arquivos que já foram rotacionados são comprimidos e enviados para o servidor por uma tarefa de fundo (*background*), controlada por um sistema de escalonamento de transmissões para evitar que os nós sobrecarreguem o coordenador com acessos simultâneos. Ao final do experimento, o coordenador envia um comando para os nós participantes finalizarem a troca de mensagens e enviarem a ele os resultados restantes.

Numa análise do progresso evolutivo do PlanetLab, Tang e outros [20] observaram que na maior parte do tempo, mais de 80% dos nós estavam *online*, sendo que certos conjuntos de nós apresentavam uma confiabilidade maior que os demais. Tipicamente o *uptime* dos nós do PlanetLab é em média 5 dias [23]. A coleta foi realizada

por 10 dias em 2009, do dia 27 de maio ao dia 05 de junho. Nesse período, 14 nós foram reiniciados pelo menos uma vez. Quando um nó era reiniciado ele comunicava-se com o coordenador para obter a lista dos demais nós participantes e voltava a trocar requisições TWP com eles. Entretanto, durante a reinicialização desses 14 nós houve o problema de nova sincronização de relógios pelo NTP e de identificadores pelos programas de monitoração, que comprometeram a interpretação dos *logs*. Outros 5 nós apresentaram problemas de contato ao servidor NTP associado.

A premissa da sincronização de relógios não seria importante para uma análise local dos tempos em uma máquina, mas é essencial para podermos correlacionar as medições de diversas máquinas ao longo do tempo para as análises com base temporal. Por esse motivo, optamos por descartar os 19 nós que tiveram algum problema de sincronização durante o período. Assim, os *logs* utilizados neste trabalho referem-se aos 81 nós restantes.

Nos 81 *logs* analisados, ignoramos as três primeiras e as três últimas horas do experimento para evitar valores discrepantes nas perdas e atrasos, devidos ao início e encerramento dos diversos programas envolvidos e à sobrecarga do coordenador com as transferências finais. Acerca da intrusividade da ferramenta, a monitoração gerou um volume de tráfego de cerca de 2,2 Kbps por máquina (com 10 segundos entre TWPs). Tal volume é pouco significativo para a rede do PlanetLab, onde os enlaces de última milha nunca são inferiores a 1 Mbps. Quanto à carga de processamento gerada nos nós, essa foi sempre inferior a 1% (CPU *utilization*).

4. ANÁLISE DOS DADOS COLETADOS

O tamanho médio dos *logs* colhidos foi de 85.000 TWP/nó, o que leva a cerca de 255.000 mensagens trocadas entre cada par de nós. Com 81 nós sendo considerados na análise final temos um total de 3.240 enlaces bidirecionais e, conseqüentemente, pouco mais de 826 milhões de mensagens trocadas durante os 10 dias da coleta. Ao todo, os 81 *logs* binários ocuparam 20 GiB de espaço em disco (4 GiB, com compressão 7Zip). O *log* completo, bem como os programas de medição e coleta dos TWP podem ser obtidos contactando-se o primeiro autor.

Conforme discutido na seção 3.1 e ilustrado na fig. 1, para dois nós A e B, os tempos de ida-e-volta entre eles são definidos como o tempo decorrido entre o envio e a recepção de duas das mensagens do *three-way ping* (PING/PING-ACK ou PING-ACK/ACK, conforme o caso).

Caso ambos os nós A e B estejam com seus relógios sincronizados, é possível também calcular os atrasos individuais se estes forem de ordem de grandeza superior

ao escorregamento dos relógios (*clock-drift*)⁴. Os relógios dos nós do PlanetLab apresentam valores reduzidos de *drift* em relação a seus servidores NTP: 60% apresentam um erro de menos de 2 ms e 40% apresentam um erro máximo estimado pelo NTP de menos de 10 ms [10]. Com base nessa premissa, o atraso direto de A para B é calculado subtraindo-se o tempo de chegada da solicitação PING em B do seu tempo de envio em A. O atraso inverso também poderá ser calculado ao subtrair-se o tempo de chegada da resposta PING-ACK em A do seu tempo de envio em B. Ademais, uma estimativa da precisão do atraso direto pode ser realizada se for considerado também o atraso direto disponibilizado pelos tempos de envio e chegada da confirmação final ACK. Estes atrasos individuais serão utilizados na análise de assimetria na seção 4.4.

Consideramos como mensagens perdidas aquelas que aparecem no *log* da máquina origem mas que não são registradas na máquina de destino (identificados pelo número de seqüência de cada mensagem). Nesses casos, o RTT em pelo menos um dos sentidos não pode ser calculado.

4.1. EVOLUÇÃO DIÁRIA

Como mencionado anteriormente, a coleta foi realizada dos dias 27/05/2009 a 05/06/2009, incluindo portanto um final de semana (quarto e quinto dias da coleta). A figura 2 apresenta as médias diárias para algumas grandezas obtidas a partir do *log*. Nos quatro casos, as barras verticais indicam os intervalos com 99% de confiança para a grandeza calculada.

A figura 2(a) exibe a evolução diária do RTT médio ao longo do *log*. Nela é possível observar que do segundo ao sexto dia houve um período de queda no RTT médio, que foi de 183 ms a 169 ms, incluindo um fim de semana. Após este período observa-se uma breve subida do sétimo ao oitavo dia para o valor de 177 ms e uma nova queda até o fim da coleta no décimo dia, alcançando então o menor valor para o RTT médio: 168 ms. Já a mediana, exibida na figura 2(c), manteve-se ligeiramente inferior à média, indicando uma concentração maior em valores mais baixos.

A variabilidade das medições é ilustrada na figura 2(b), que exibe a evolução diária da variabilidade média dos atrasos ao longo do *log*. Nela é possível observar que, tal como observado no RTT médio, do segundo ao oitavo dia houve um período de queda na variabilidade, seguido de uma subida do oitavo ao nono dia. Ou seja, ao mesmo tempo que o RTT médio decaiu, observou-se uma maior homogeneidade no coeficiente de variação dos atrasos do referido período.

⁴O termo escorregamento é adotado pela RNP como a tradução mais indicada para *drift* nesse caso — vide <http://ntp.br/NTP/MenuNTPVocabulario>

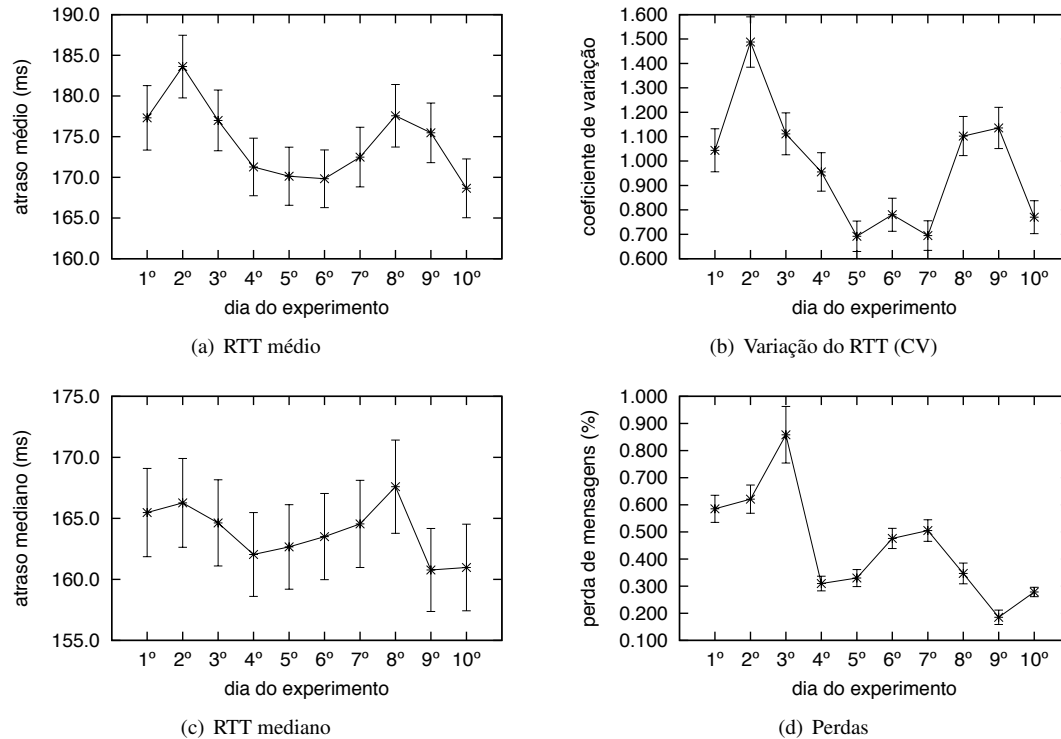


Figura 2. Evolução diária das medições

Finalmente, a figura 2(d) exibe a evolução diária da perda média de mensagens ao longo do *log*. Observamos que a perda de mensagens apresentou uma maior variabilidade nos 3 primeiros dias da coleta, passando a demonstrar valores mais homogêneos a partir do quarto dia. O terceiro dia apresentou o maior valor global de 0,86% para a perda média de mensagens e o nono dia apresentou o menor valor global de 0,18%.

É interessante observar que as médias diárias, calculadas considerando todos os 81 pares, apresentam quedas durante o final de semana para todas as grandezas ilustradas na figura 2. Se aceitarmos que o tráfego na Internet pode ser mais reduzido durante os finais de semana, a variação observada pode ser atribuída à redução das filas nos roteadores naquele período (e, conseqüentemente, a redução da fração da latência associada).

4.2. DISTRIBUIÇÃO ACUMULADA DOS RTTs

Uma outra forma de interpretar os dados é determinando como os tempos de ida-e-volta e as perdas se comportam para cada par de máquinas participantes. Para isso, calculamos as métricas de interesse separadamente para cada par e apresentamos aqui as distribuições acumuladas obtidas.

Para o RTT, foi obtida uma média global de 181 ms. Conforme pode ser observado na figura 3(a), apenas 40% dos pares apresentaram médias acima de 181 ms, com um

máximo de 537 ms para o RTT médio. Se observarmos os resultados para o 99-quantil na figura 3(b), veremos que em 90% dos pares de máquinas considerados, apenas um por cento dos RTTs medidos ficou acima de 500 ms.

O coeficiente de variação (CV) é apresentado na figura 3(c) e indica a variabilidade dos dados. É calculado pelo desvio padrão dividido pela média, de maneira que quanto menor o CV, mais homogêneo é o conjunto de dados. Foram observadas altas variabilidades nos atrasos das mensagens para a maioria dos pares. Uma fração pequena dos pares (menos de 5%) apresentaram CVs abaixo de 0,05; 50% ficaram abaixo de 0,56, e 50% ficaram entre 0,22 e 1,74.

Na figura 3(d) podemos observar que, em geral, a taxa de perda de mensagens foi baixa. A taxa de perda média foi de 0,41% apenas, cerca de 60% dos pares de máquinas experimentaram perdas inferiores a 0,1% e 90% dos nós apresentaram perdas abaixo de 0,90%, com um máximo de 8,6% de perda de mensagens.

Quanto aos valores extremos (máximos e mínimos) do RTT, cujos gráficos não foram incluídos por questões de espaço, observamos que a média dos RTTs mínimos foi de 145 ms, com 75% dos nós abaixo de 198 ms e 95% abaixo de 330 ms. O mínimo absoluto foi de 1 ms (entre nós de uma mesma rede) e o maior valor observado para o RTT mínimo foi de 409 ms. Já a média dos RTTs máximos foi de 27 segundos, com 75% dos nós abaixo de 32

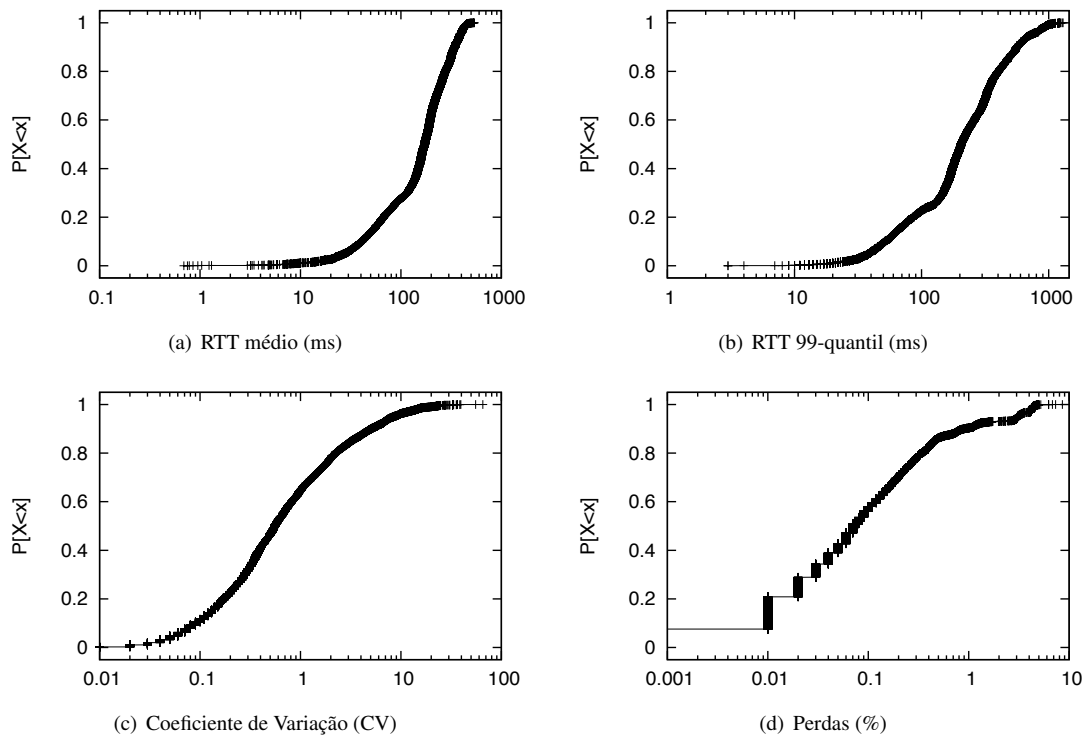


Figura 3. Distribuições acumuladas das medições

segundos e 95% abaixo de 112 segundos. O máximo absoluto foi de 170 segundos, ou seja, 2,8 minutos de atraso. Esses casos de valores muito altos não se encontravam em rajadas, mas, como mensagens que aparentemente se separaram do fluxo usual e acabaram chegando ao destino muito mais tarde que aquelas enviadas imediatamente antes e depois delas.

4.3. CARACTERIZAÇÃO DA DISTRIBUIÇÃO DOS ATRASOS

Um dos objetivos deste trabalho é identificar a melhor distribuição estatística que modelasse os atrasos medidos. Tal distribuição poderia ser utilizada em trabalhos que necessitem gerar valores sintéticos de RTT que acompanhem uma distribuição realista. Para determinar a distribuição utilizamos o software Minitab⁵. Devido a suas limitações em termos da quantidade máxima de linhas permitidas e do tempo necessário para o processamento, dos 551 milhões de medidas de RTT coletados obtivemos uma amostra aleatória de 0,1%, ou 551 mil medidas.

A distribuição estatística dos dados pode ser encontrada através de testes padrões para determinar o grau de adequação (*goodness of fit*): Chi-square, Kolmogorov-Smirnov (KS) e Anderson-Darling (AD) [18], dos quais o Minitab utiliza esse último.

Há uma grande quantidade de distribuições estatísticas que consistiriam em candidatos a modelo de distribuição dos dados, das quais a tabela 2 lista as distribuições que se mostraram mais apropriadas. Na segunda coluna, o coeficiente AD fornece-nos uma medida da qualidade do ajuste. Ao compararmos o ajuste das distribuições para o conjunto de dados, a distribuição com o menor valor de Anderson-Darling oferecerá o melhor ajuste (*best fit*). Porém é necessário que ela rejeite a hipótese nula de que os dados têm distribuição normal, de maneira que o *p-value* deve ser menor ou igual a 0,05.

<i>Distribuição</i>	<i>AD</i>	<i>P-Value</i>
3-Par Lognormal	203	*
Gamma	208	< 0,005
3-Par Loglogistic	214	*
Lognormal	267	< 0,005
3-Par Weibull	273	< 0,005
Weibull	472	< 0,010
Normal	986	< 0,005
2-Par Exponential	2376	< 0,010

Tabela 2. Qualidade do ajuste da distribuição dos atrasos

A figura 4 exibe os gráficos de probabilidade de ajuste daquelas distribuições, consistindo numa técnica para avaliar se o conjunto de dados segue ou não uma dada dis-

⁵<http://www.minitab.com/>

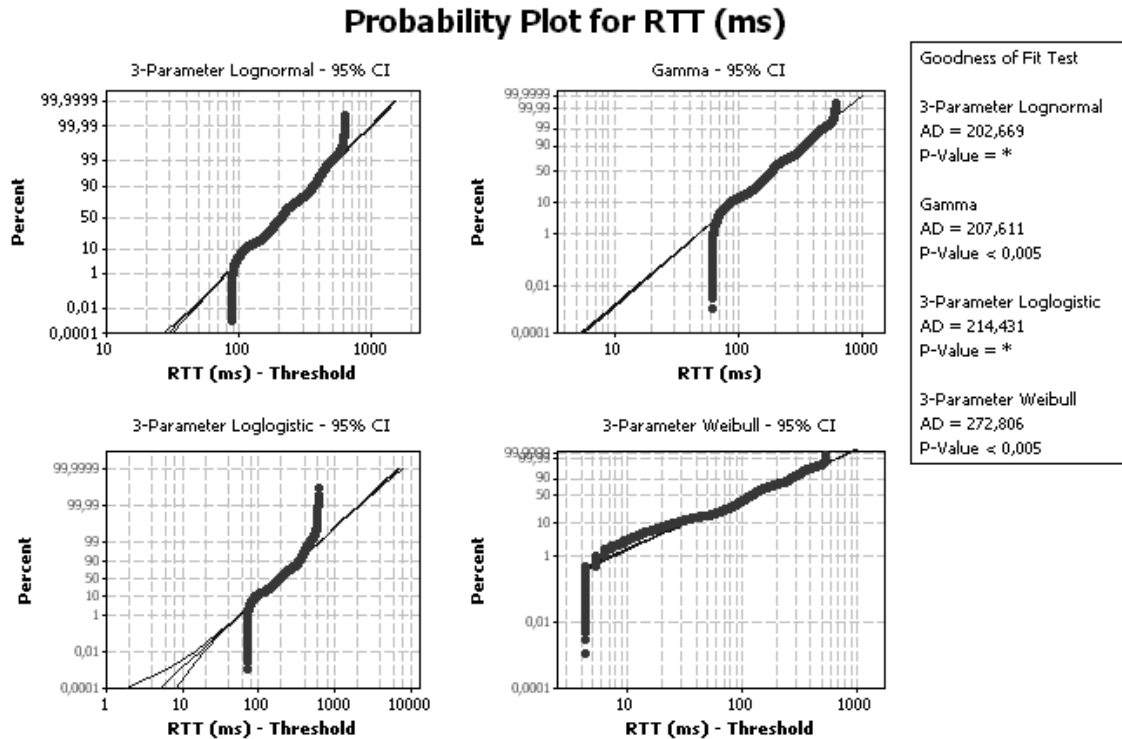


Figura 4. Gráfico de probabilidades das distribuições

tribuição. Os dados são plotados sobre a distribuição candidata de maneira que os pontos devam formar aproximadamente uma linha reta e desvios na reta indicam desvios da distribuição especificada [5]. Sendo assim, nosso critério para a distribuição com melhor ajuste é aquela com o gráfico de probabilidade mais linear. O coeficiente de correlação AD provê uma medida da linearidade do gráfico, assim como uma medida do quão bem a distribuição ajusta-se aos dados.

Ao observar a tabela 2 e a figura 4 verificamos que as distribuições Lognormal de 3 parâmetros e Gamma foram as que melhor se ajustaram aos atrasos observados. Porém, com a Lognormal de 3 parâmetros não foi possível rejeitar a hipótese de normalidade. Além disso, das duas, a distribuição Gamma foi a que melhor se ajustou aos extremos (atrasos <100 ms e >500 ms). Portanto, propomos a utilização da distribuição Gamma como um modelo de distribuição apropriado para a modelagem de atrasos na rede, provendo um balanço entre melhor ajuste e simplicidade.

A distribuição Gamma é uma distribuição de probabilidade contínua que possui dois parâmetros: um parâmetro de escala Θ e um parâmetro de forma λ . Ela é frequentemente utilizada para modelar tempos de espera e aparece naturalmente em processos para os quais os tempos de espera entre eventos com distribuição *Poisson* são

relevantes. Ela pertence à família das distribuições exponenciais com parâmetros naturais $\lambda-1$ e $-1/\Theta$. A sua função característica $\varphi_X(t)$ é $(1 - \Theta it)^{-\lambda}$, em que t é o argumento da função característica e i é a raiz quadrada de menos um.

A tabela 3 exhibe as estimativas dos parâmetros das distribuições para modelagem do atraso de mensagens. Através dela é possível configurar as distribuições para exibirem atrasos de rede compatíveis com o PlanetLab. Segundo Silva e outros, a geração de cargas sintéticas mais realistas também possibilitaria analisar com mais precisão aplicações em contextos semelhantes ao do *log* coletado, de maneira a facilitar o projeto, implementação e validação de novos protocolos de rede [16]. Desta maneira, este trabalho fornece tanto uma carga real quanto as distribuições estatísticas mais apropriadas para a modelagem dos atrasos de rede através de uma carga sintética.

A figura 5 exhibe as estatísticas descritivas da distribuição Gamma configurada com os parâmetros de melhor ajuste ao RTT do PlanetLab. Sua obliquidade positiva (*skewness*=0,927) faz com que sua massa seja concentrada à esquerda e exiba uma cauda mais longa à direita, demonstrando uma assimetria na dispersão dos dados em relação à curva normal (curva sobre o histograma). A curtose também positiva (*kurtosis*=1,294) caracteriza um menor achatamento da curva em relação à normal,

Tabela 3. Estimativas dos parâmetros da distribuição dos atrasos

Distribuição	Localização μ	Forma λ	Escala Θ	Limiar
Gamma	-	4,63062	43,16537	-
3-Par Lognormal	5,34111	-	0,41280	-27,12915
3-Parameter Loglogistic	5,25100	-	0,26255	-9,23031
3-Parameter Weibull	-	1,51208	158,33886	56,63291

ou seja, exibe um afunilamento com um pico mais alto e uma maior concentração que a normal. Consequentemente, a distribuição Gamma assim configurada possui caudas mais prolongadas, onde é relativamente fácil obter valores que se afastam da média a vários múltiplos do desvio padrão. Observe ainda que a média exibida é de 199 ms, ou seja, ligeiramente diferente da média global exibida pelo PlanetLab de 181 ms (isto é devido a imperfeições no ajuste da modelagem).

4.4. ASSIMETRIA DOS ATRASOS

Em uma análise do progresso evolutivo do RTT (*round-trip time*) médio do PlanetLab, Tang e outros observaram uma considerável variação no RTT entre pares de nós (de 150 a 550 ms), mesmo entre curtos períodos de tempo (15 minutos) [20]. Isso apresenta um desafio significativo aos modelos topológicos que pressupõem uma latência fim-a-fim estática entre pares de nós. Em recente análise da assimetria dos atrasos na Internet [10], Pathak e outros realizaram um estudo abrangente no qual mediram a severidade da assimetria no atraso entre diversos pares de nós do PlanetLab. Seus resultados estão de acordo com os de Tang e outros, sendo observado que a assimetria dos atrasos prevalece na grande maioria dos nós, podendo ser em parte atribuída à assimetria nas rotas e em parte a congestionamentos transientes. Observaram também que a assimetria é dinâmica, ou seja, à medida que o tempo progride, a assimetria dos atrasos varia. Além disso, notaram que redes comerciais exibem níveis mais altos de assimetria que redes educacionais e de pesquisa.

Visto que a assimetria dos atrasos na Internet é uma realidade, conduzimos uma análise da assimetria do *log* coletado. Utilizamos a métrica *assimetria relativa*, que consiste no módulo da diferença entre os atrasos direto e inverso normalizado pelo atraso mínimo, conforme representado na equação 1. Naquela equação, quanto mais próximo de zero for o resultado, mais simétrico será e consequentemente, quanto maior for o valor encontrado, maior será a assimetria.

$$assimetria = \frac{|atraso_{AB} - atraso_{BA}|}{\min(atraso_{AB}, atraso_{BA})} \quad (1)$$

Por exemplo, considere que em determinado momento o RTT observado num par de nós foi de 150 ms e o

atraso direto de 60 ms. Portanto, o atraso inverso foi de 90 ms o que representa uma assimetria de 30 ms entre esses dois atrasos. Com 60 ms de atraso direto e 90 ms de atraso inverso, temos uma assimetria relativa de $\text{abs}(60-90)/60=0,50$. Isso significa que o sentido com maior atraso apresentou um acréscimo de 50% em relação ao valor do atraso no outro sentido.

Os resultados obtidos para esta métrica estão expressos na tabela 4 e na figura 6, onde podemos observar que a assimetria média do PlanetLab é alta (0,947), porém com uma alta variabilidade (9,27). Mesmo a média calculada com a exclusão de 5% dos valores discrepantes ainda pode ser considerada alta, com um valor de 0,409. Metade dos nós apresentou uma assimetria relativa entre 0,08 e 0,56 e 95% deles apresentaram uma assimetria abaixo de 3,08.

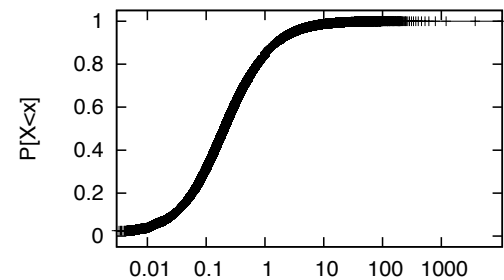


Figura 6. Distribuição acumulada da assimetria relativa dos atrasos

4.5. CLUSTERIZAÇÃO DOS ENLACES

Realizamos também uma clusterização dos enlaces de acordo com suas estatísticas descritivas (atraso médio, seus quantis, variabilidade do atraso e % de perda), buscando separá-los em grupos que, para estas métricas, possuam um comportamento aproximado. Os canais entre duas máquinas A e B foram considerados separadamente em cada sentido, isto é, as medidas de RTT de A para B foram consideradas como um canal de medição e as medidas de B para A como outro canal independente.

Para a clusterização utilizamos o software *Weka*⁶ com o algoritmo de clusterização *Expectation-Maximization* (EM), donde chegamos às 5 instâncias de *clusters* listadas

⁶<http://www.cs.waikato.ac.nz/ml/weka/>

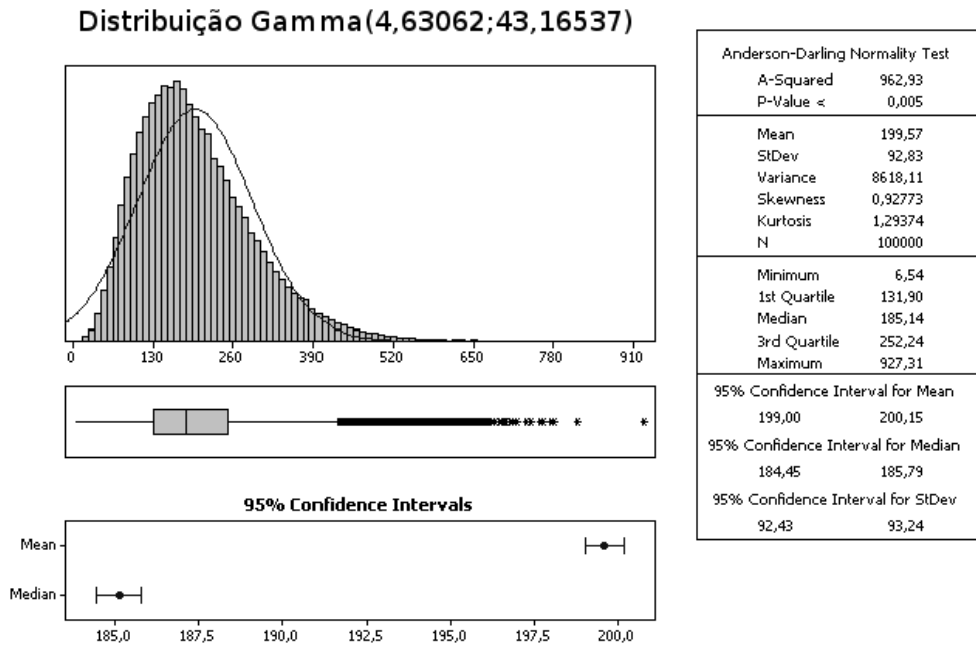


Figura 5. Distribuição Gamma para o RTT do PlanetLab

Tabela 4. Estatísticas da assimetria relativa dos atrasos

<i>Média</i>	<i>Desvio Padrão</i>	<i>CV</i>	<i>Q₂₅</i>	<i>Mediana</i>	<i>Q₇₅</i>	<i>Q₉₀</i>	<i>Q₉₅</i>	<i>Q₉₉</i>
0,947	8,78	9,27	0,08	0,20	0,56	1,62	3,08	12,07

Tabela 5. Estatísticas da clusterização

<i>Cluster</i>	<i>Enlaces</i> (%)	<i>RTT</i>		<i>Taxa de Perda (%)</i>
		<i>Média</i>	<i>CV</i>	
c1	21%	49 ms	1,12	0,22%
c2	21%	131 ms	6,37	0,40%
c3	24%	167 ms	0,33	0,30%
c4	21%	269 ms	0,96	0,12%
c5	13%	358 ms	0,44	1,40%
Global	100%	181 ms	1,89	0,41%

na tabela 5. Observamos que o cluster 1 apresentou um baixo RTT médio e baixa perda de mensagens, ao contrário do cluster 5, que apresentou atrasos relativamente bem maiores e uma maior taxa de perda de mensagens. O cluster 2 mostrou uma grande variabilidade nos dados, dado seu alto CV, ao passo que o cluster 3 teve a menor variabilidade. Acerca do cluster 4, podemos dizer que ele apresentou um comportamento próximo da média global do PlanetLab.

A fim de exibir o comportamento típico dos RTTs medidos por um nó, selecionamos aleatoriamente uma conexão de cada cluster e geramos a série temporal dos RTTs

medidos para aquela conexão. A figura 7 traz os resultados deste procedimento.

Pela figura 7, nos exemplos pode-se observar algumas das características que identificam cada cluster: em (a) os valores baixos da maioria das medidas de RTT para o par do cluster 1, porém com muitos picos elevados (alta variabilidade); em (b) a variabilidade ainda mais elevada do par do cluster 2, ainda com um limite inferior baixo; em (c) o menor número de variações nas medidas do cluster 3, porém já com um limite inferior mais alto e, por fim, em (d), para o cluster 4, um valor médio ainda mais alto com significativas variações. Um exemplo de série temporal para o cluster 5 não foi incluído por limitações de espaço, mas também apresenta padrão visualmente diferente dos demais.

Para ilustrar mais claramente as diferenças entre os grupos exibimos abaixo as distribuições acumuladas, já apresentadas para o *log* completo mas agora com uma curva para cada um dos *clusters* encontrados.

Na figura 8, notamos que as curvas de RTT médio (fig. 8(a)) são as que melhor separam os *clusters*. Nas demais, alguns *clusters* apresentam distribuições semelhantes, mas ainda assim é possível observar as separações. As distribuições de perdas, apesar de parecerem próximas, se

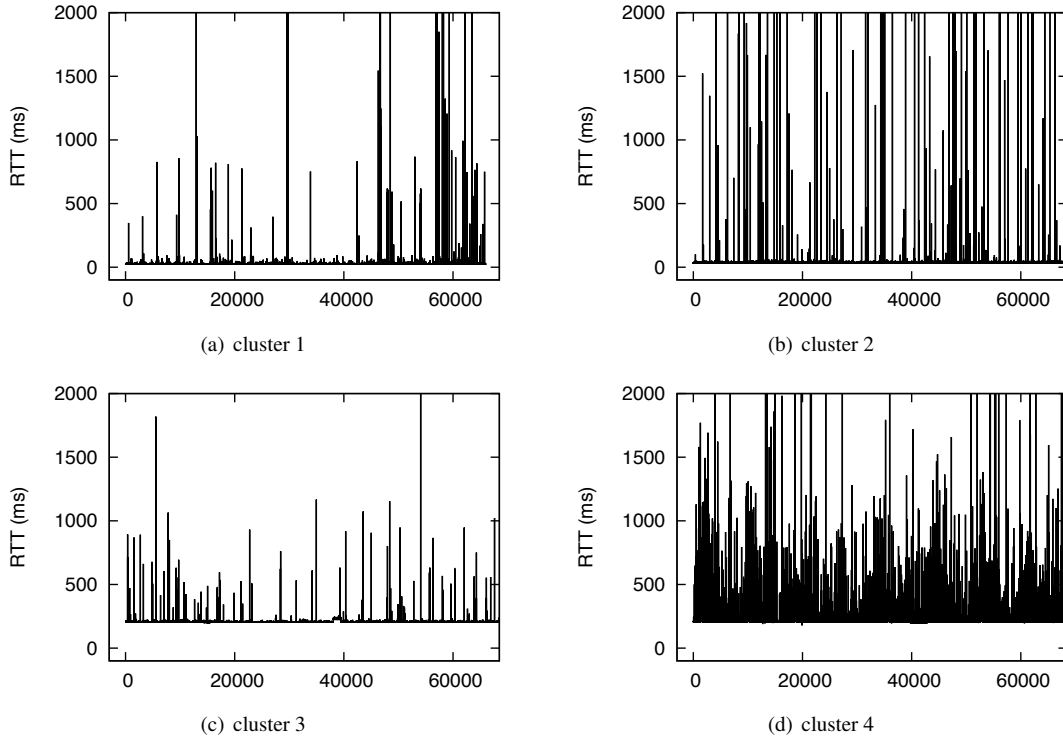


Figura 7. RTTs ao longo do tempo para os diferentes clusters

diferenciam mais claramente nas duas extremidades, pela quantidade de nós que experimentam poucas perdas em cada cluster e pelos valores máximos de perdas em cada caso.

Quanto à topologia, analisamos a composição da distribuição geográfica dos clusters. Observamos que o cluster 1 é populado principalmente por nós de um mesmo continente, seja ele Europa ou América do Norte, enquanto que o cluster 2 é caracterizado por nós do Oriente Médio ou Mediterrâneo. Já o cluster 3 é constituído na maior parte por pares de nós dos continentes Europa com América do Norte. O cluster 4 é composto essencialmente por pares de nós da América do Sul com outro continente e o cluster 5 por pares de nós da Ásia com outro continente.

Finalmente, como os enlaces em cada cluster possuem características próximas, seria de se esperar que as medidas dos canais de A para B e de B para A fossem classificados no mesmo cluster. Como as medidas são obtidas pelo *Three-Way Ping*, normalmente, um par de medidas (uma em cada sentido) é obtido de cada vez.

Usualmente, as duas medições de RTT em um TWP tendem a ser semelhantes, dado que cada uma envolve uma mensagem em cada sentido. Entretanto, oscilações rápidas da rede podem ocorrer durante a primeira ou a terceira mensagens, levando a valores de RTTs ligeiramente diferentes, ou a terceira mensagem pode se perder,

o que afetaria apenas a segunda medição de RTT. Tais variações, quando frequentes, podem levar a casos onde as medidas de A para B sejam classificadas em um cluster diferente das de B para A.

Tabela 6. Distribuição dos canais entre cada par de máquinas A,B. A última linha indica a porcentagem dos casos da diagonal principal em relação ao total em cada cluster.

cluster de A→B	cluster de B→A				
	c1	c2	c3	c4	c5
C1	1876	290	14	3	0
C2		1078	205	24	7
C3			2084	112	5
C4				1464	140
C5					1332
A→B ∈ c _j ∧ B→A ∈ c _j					
	86%	67%	86%	84%	90%

A tabela 6 mostra, para todos os pares A,B, quantos foram classificados no mesmo cluster (diagonal) e quantos pares foram divididos entre dois clusters diferentes. Por exemplo, existem 205 pares em que o canal em um sentido foi classificado em C2 enquanto o canal no sentido contrário foi classificado em C3. Apenas C1 e C5 não têm nenhum par compartilhado dessa forma, o que se

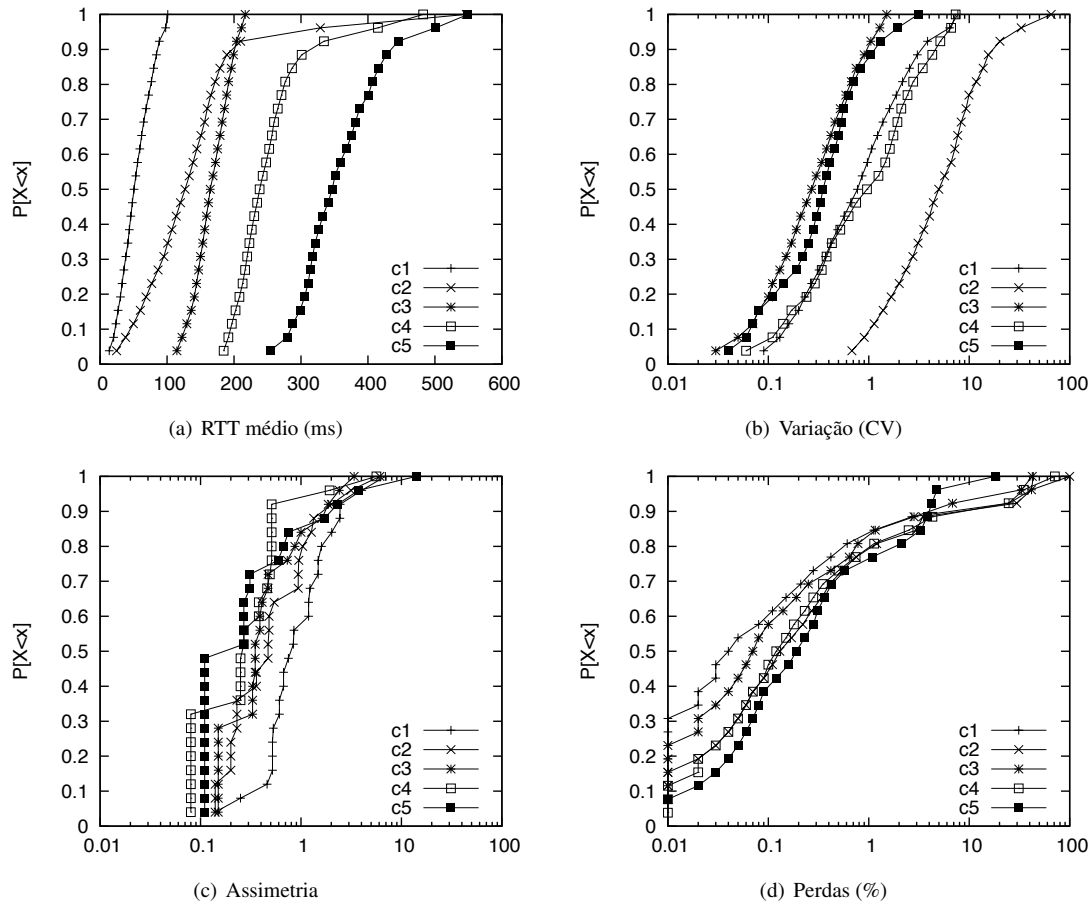


Figura 8. Análise comparativa dos clusters

deve certamente ao fato de serem os agrupamentos com maiores diferenças entre si. A última linha resume, para cada *cluster*, a porcentagem dos canais assinalados àquele *cluster* que formam pares (ambos os sentidos, $A \rightarrow B$ e $B \rightarrow A$, no mesmo *cluster*).

O cluster 2, que teve a maior quantidade de pares com canais também atribuídos a outros grupos, foi aquele que teve a maior variabilidade (CV), muito acima dos demais. Essa maior variabilidade pode ter contribuído para maior dispersão dos seus elementos.

5. CONCLUSÃO E TRABALHOS FUTUROS

Tempos de ida-e-volta são importantes em diversas situações na Internet: eles podem, por exemplo, determinar a seleção de certos pares ou servidores em aplicações distribuídas, afetando a forma como participantes do sistema se organizam. Por esse motivo, informações sobre RTTs são importantes para orientar o projeto de protocolos e como entrada para sistemas de simulação, entre outros fa-

tores. Neste trabalho apresentamos um metodologia para medição e caracterização de tempos de ida-e-volta na Internet. As medições foram realizadas por um período de dez dias, com um intervalo entre medições baixo (10 segundos), utilizando 81 máquinas distribuídas pela Internet em quatro continentes.

Os resultados foram avaliadas em termos dos RTTs médios, sua variabilidade ao longo do tempo entre um mesmo par de máquinas e entre pares diferentes, bem como as perdas observadas em cada canal de medição. O padrão de variação dos RTTs ao longo do tempo foi modelado como uma distribuição Gamma, cujos parâmetros foram identificados, podendo ser usada na geração de atrasos em ambientes de simulação, por exemplo. Com base no uso de relógios sincronizados avaliamos também o atraso unidirecional entre as diversas máquinas, encontrando uma prevalência significativa de assimetria nos canais. Finalmente, uma análise dos *logs* utilizando uma técnica de clusterização mostrou a existência de cinco grupos, caracterizados por diferentes combinações de valor médio de RTT, taxas de perda e variabilidade das medições, entre outros fatores. A inspeção de algumas amos-

tras de cada grupo e a análise das distribuições acumuladas das diversas métricas em cada caso confirmam as diferenças entre os grupos e composições inter- e intra-continentes.

Identificamos até o presente momento pelo menos duas linhas para trabalhos futuros. Por um lado, pretendemos investigar os fatores de rede que levaram à formação dos grupos identificados. Esperamos que isso leve a um modelo mais detalhado do comportamento da rede quanto aos tempos de ida-e-volta, com caracterização dos *clusters* separadamente. Paralelamente, pretendemos reproduzir o experimento em maior escala, com mais pontos de medição e por períodos mais longos. A análise de intervalos maiores ou variáveis se encontram entre os trabalhos que estamos desenvolvendo no momento, junto com o projeto de uma versão adaptativa da malha de monitoração que permita a realização de medidas entre um número maior de máquinas. Para tal, utilizaremos uma topologia do tipo par-a-par para minimizar a complexidade quadrática da quantidade de nós intercomunicantes.

Disponibilidade dos dados

O *trace* completo, bem como os programas de medição e coleta dos TWP podem ser obtidos através de contato com o primeiro autor. Mais informações podem ser obtidas na página do projeto no qual esta pesquisa está inserida: <http://www.dcc.ufmg.br/~evaladao/dfd>

Agradecimentos

Esta pesquisa foi parcialmente financiada pelo Instituto Nacional de Ciência e Tecnologia para a Web - InWeb (MCT/CNPq 573871/2008-6), pelo CNPq, pela CAPES e pela FAPEMIG.

Referências

- [1] Jay Aikat, Jasleen Kaur, F. Donelson Smith, and Kevin Jeffay. Variability in tcp round-trip times. In *Proceedings of the 3rd ACM SIGCOMM conference on Internet measurement*, IMC '03, pages 279–284, New York, NY, EUA, 2003. ACM.
- [2] Jean-Chrysostome Bolot. Characterizing end-to-end packet delay and loss in the internet. *Journal of High Speed Networks*, 2(3):289–298, Setembro 1993.
- [3] D.R. Choffnes, M.A. Sanchez, and F.E. Bustamante. Network Positioning from the Edge—An Empirical Study of the Effectiveness of Network Positioning in P2P Systems. In *Proceedings of INFOCOM 2010*, pages 1–5, San Diego, CA, EUA, 2010. IEEE.
- [4] Jin-Hee Choi and Chuck Yoo. One-way delay estimation and its application. *SIGCOMM Computer Communication Review*, 28(7):819–828, Maio 2005.
- [5] C. Croarkin, P. Tobias, JJ Filliben, B. Hembree, WF Guthrie, J. Prins, C. Zey, NA Heckert, and L. Trutna. NIST/SEMATECH e-Handbook of Statistical Methods. Disponível em <http://www.itl.nist.gov/div898/handbook/>. Visitado em 2009-08-05, 2003.
- [6] Tae hwa Kim, Young tae Han, Eun jeong Lee, and Hong-Shik Park. Analysis of delay times for the multimedia streaming services at the broadband convergence network (BcN). In *Proceedings of The Joint International Conference on Optical Internet and Next Generation Network, COIN-NGNCON 2006*, pages 219–221, Julho 2006.
- [7] Phil Karn and Craig Partridge. Improving round-trip time estimates in reliable transport protocols. *SIGCOMM Computer Communication Review*, 25:66–74, Janeiro 1995.
- [8] Matthew J. Luckie, Anthony J. McGregor, and Hans-Werner Braun. Towards improving packet probing techniques. In *Proceedings of the 1st ACM SIGCOMM Workshop on Internet Measurement*, IMW '01, pages 145–150, New York, NY, EUA, 2001. ACM.
- [9] KyoungSoo Park and Vivek S. Pai. Comon: a mostly-scalable monitoring system for planetlab. *SIGOPS Operating Systems Review*, 40(1):65–74, Janeiro 2006.
- [10] Abhinav Pathak, Himabindu Pucha, Ying Zhang, Y. Charlie Hu, and Zhuoqing Morley Mao. A measurement study of internet delay asymmetry. In *Proceedings of the 9th International Conference on Passive and Active Network Measurement (PAM '08)*, volume 4979 of *Lecture Notes in Computer Science*, pages 182–191, Berlin, Alemanha, 2008. Springer-Verlag.
- [11] R. Prasad, C. Dovrolis, M. Murray, and K. Claffy. Bandwidth estimation: metrics, measurement techniques, and tools. *Network, IEEE*, 17(6):27–35, Novembro 2003.
- [12] Himabindu Pucha, Y. Charlie Hu, and Z. Morley Mao. On the impact of research network based testbeds on wide-area experiments. In *Proceedings of the 6th ACM SIGCOMM conference on Internet measurement*, IMC '06, pages 133–146, New York, NY, EUA, 2006. ACM.

- [13] S. Ratnasamy, M. Handley, R. Karp, and S. Shenker. Topologically-aware overlay construction and server selection. In *Proceedings of the 21st Annual Joint Conference of the IEEE Computer and Communications Societies (INFOCOM 2002)*, volume 3, pages 1190–1199, 2002.
- [14] F.F. Redígolo, M.A. de Lima, M.T. Silva, J.Q.S. Souza, and T.C.M. de Brito Carvalho. PlanetLab: Ambiente para Desenvolvimento e Pesquisa de Aplicações Distribuídas. In *Minicursos do XXV Simpósio Brasileiro de Redes de Computadores (SBRC '07)*, pages 163–202, Belém, PA, Brasil, Maio 2007. SBC.
- [15] Antonio Rocha Rocha, Rosa Leão, and Edmundo de Souza e Silva. Metodologia para estimar o atraso em um sentido e experimentos na Internet. In *Anais do XXII Simpósio Brasileiro de Redes de Computadores (SBRC '04)*, pages 589–602, Gramado, RS, Brasil, 2004.
- [16] T. H. Silva, V. F. S. Mota, E. Valadão, J. Almeida, and D. Guedes. Caracterização do Comportamento dos Espectadores em Transmissões de Vídeo ao Vivo Geradas por Usuários. In *Anais do XXVII Simpósio Brasileiro de Redes de Computadores e Sistemas Distribuídos (SBRC '09)*, pages 613–626, Recife, PE, Brasil, 2009.
- [17] Alan Jay Smith. Workloads (creation and use). *Communications of the ACM*, 50(11):45–50, Novembro 2007.
- [18] MA Stephens. EDF statistics for goodness of fit and some comparisons. *Journal of the American Statistical Association*, pages 730–737, 1974.
- [19] Jeremy Stribling. All-sites-pings (app). Disponível em http://pdos.csail.mit.edu/~strib/pl_app/. Visitado em 2009-02-05, 2005.
- [20] Li Tang, Yin Chen, Fei Li, Hui Zhang, and Jun Li. Empirical study on the evolution of planetlab. In *Proceedings of the 6th International Conference on Networking (ICN '07)*, pages 64–64, Los Alamitos, CA, EUA, Abril 2007. IEEE Computer Society.
- [21] Emilio Wille, Eduardo Yabcznski, and Clovis R. da Costa Bento. Algoritmos para solução do problema de dimensionamento de buffers em roteadores IP. In *Anais do XXVI Simpósio Brasileiro de Redes de Computadores (SBRC '08)*, pages 217–229, Rio de Janeiro, RJ, Brasil, 2008.
- [22] Chad Yoshikawa. Planetlab - all sites pings. Disponível em <http://ping.ececs.uc.edu/ping/>. Visitado em 2009-02-05, 2006.
- [23] Jiaying Zhang and Peter Honeyman. Performance and availability tradeoffs in replicated file systems. In *Proceedings of the 8th IEEE International Symposium on Cluster Computing and the Grid (CC-GRID '08)*, pages 771–776, Los Alamitos, CA, EUA, Maio 2008. IEEE Computer Society.